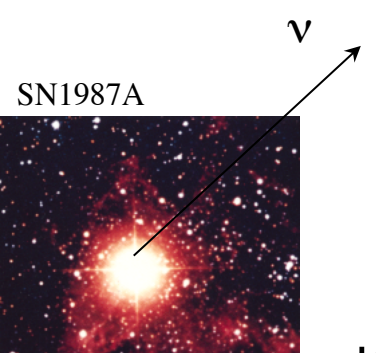
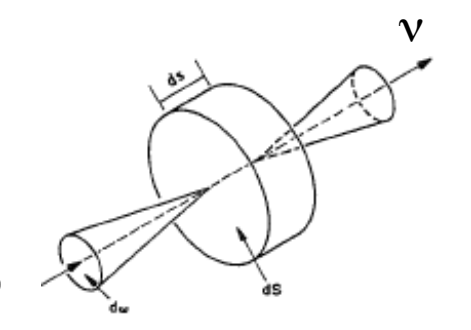
# ニュートリノ輸送方程式の数値解法



Mann "Shadow of a Star

#### 住吉光介(沼津高専)

長倉洋樹(早大/京大), 山田章一(早大) 松古栄夫(KEK), 今倉暁, 櫻井鉄也(筑波大)



#### 6D分布のボルツマン方程式を解く計算コード 超新星の爆発メカニズムを探る

#### ニュートリノ輻射輸送と超新星爆発

- 重力崩壊型超新星爆発とは?
  - コアバウンスから爆発までが難しい
  - ニュートリノ輻射輸送が鍵
- 3次元空間でのニュートリノ輻射輸送
  - 6次元ボルツマン方程式を解く
- 3次元超新星コアへの応用
  - 近似法との比較と爆発への影響
- Sumiyoshi & Yamada, Astrophys. J. Suppl. 199 (2012) 17
- プラズマ・核融合学会誌 2012,10月号,610

#### 重力崩壊型超新星爆発とは?

重たい星(20M<sub>sun</sub>)の進化の最期

#### 超新星爆発の例:1987年2月23日 7:35:35





爆発前

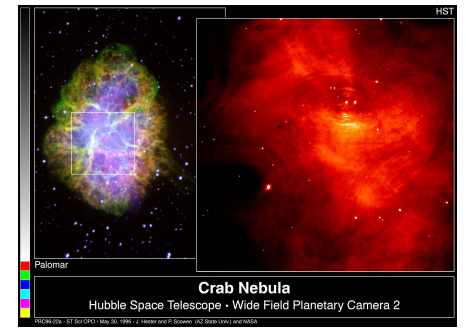
爆発後

• ある日突然、非常に明るい星が現れる → 実は、星の最期

## 重力崩壊型超新星爆発で遺されるもの

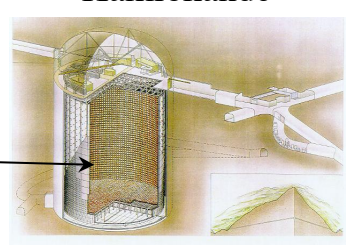
- 中性子星・ブラックホールの誕生
  - パルサー (太陽質量の1.4倍、半径10km)
  - 高密度天体(エキゾチックな物質)

Crab Nebula (SN1054)



- 大量のニュートリノ・宇宙線を放出
  - ノーベル物理学賞2002年
  - 物質・銀河の進化を担う

Kamiokande



ν



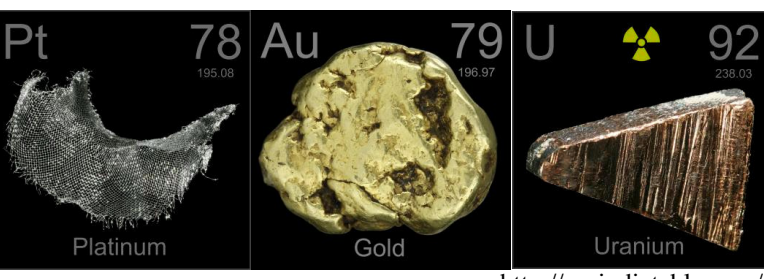


http://nobelprize.org/

- 自然界での重元素の起源
  - 爆発的元素合成

SN1987A

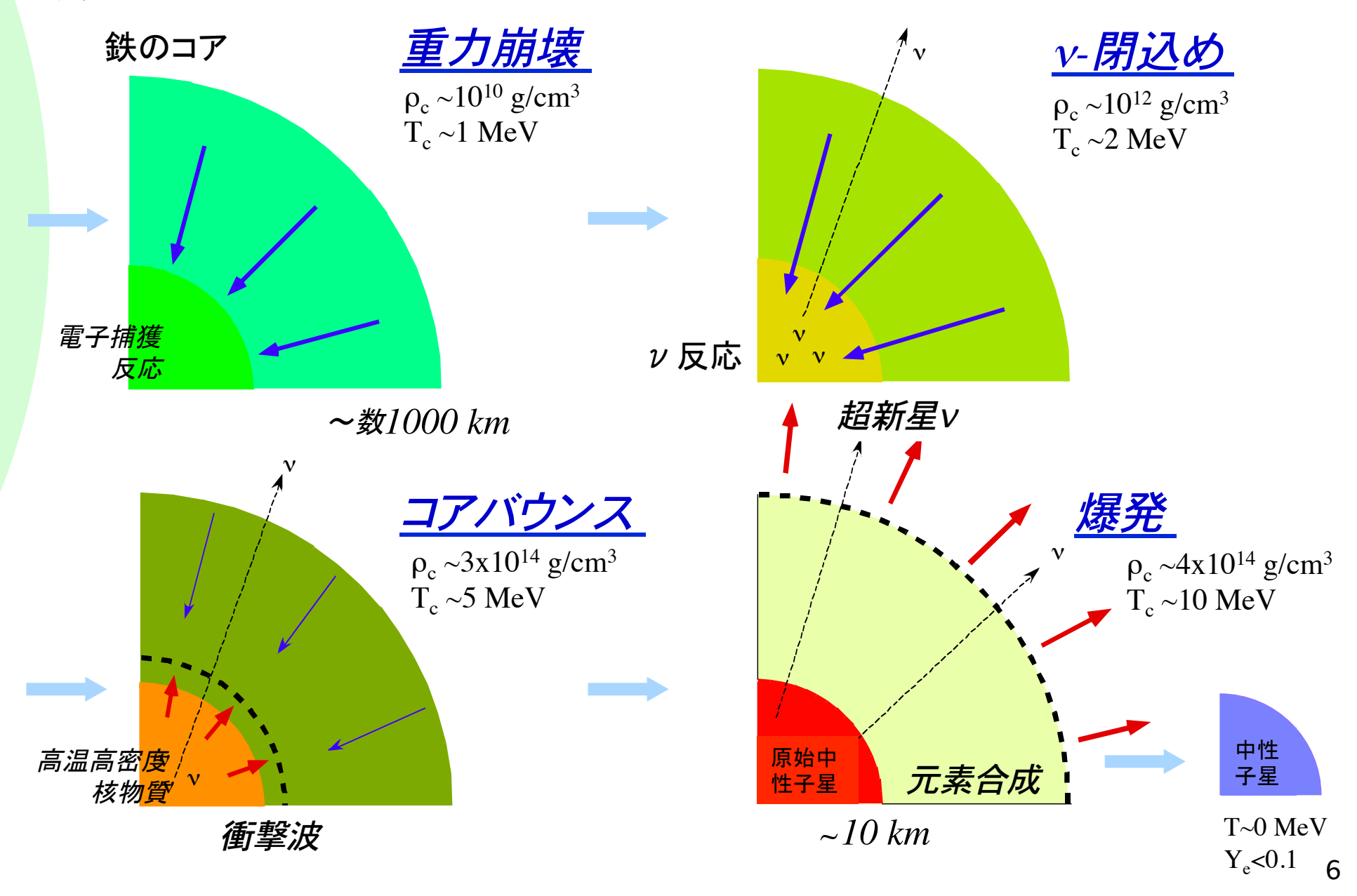
• 鉄以降の元素の半分



http://periodictable.com/

### 重力崩壊型超新星のメカニズム

大質量星



## 重力崩壊から爆発へ:エネルギー収支

- 鉄コアから中性子星へ (M<sub>core</sub>~1.4M<sub>solar</sub>)
  - $-R_{Fe}\sim 10^3 \text{ km} \rightarrow R_{NS}\sim 10 \text{ km}$
  - $-\rho_{\rm c} \sim 10^{10} {\rm g/cm^3} \rightarrow \rho_{\rm c} \sim 10^{15} {\rm g/cm^3}$
- 重力エネルギーの解放

$$\Delta E_{Grav} = -\left(\frac{GM^2}{R_{Fe}} - \frac{GM^2}{R_{NS}}\right) \sim 10^{53} erg$$

• 爆発エネルギー:

 $E_{\rm exp} \sim 10^{51} \, \rm erg$ 

ニュートリノ放出:

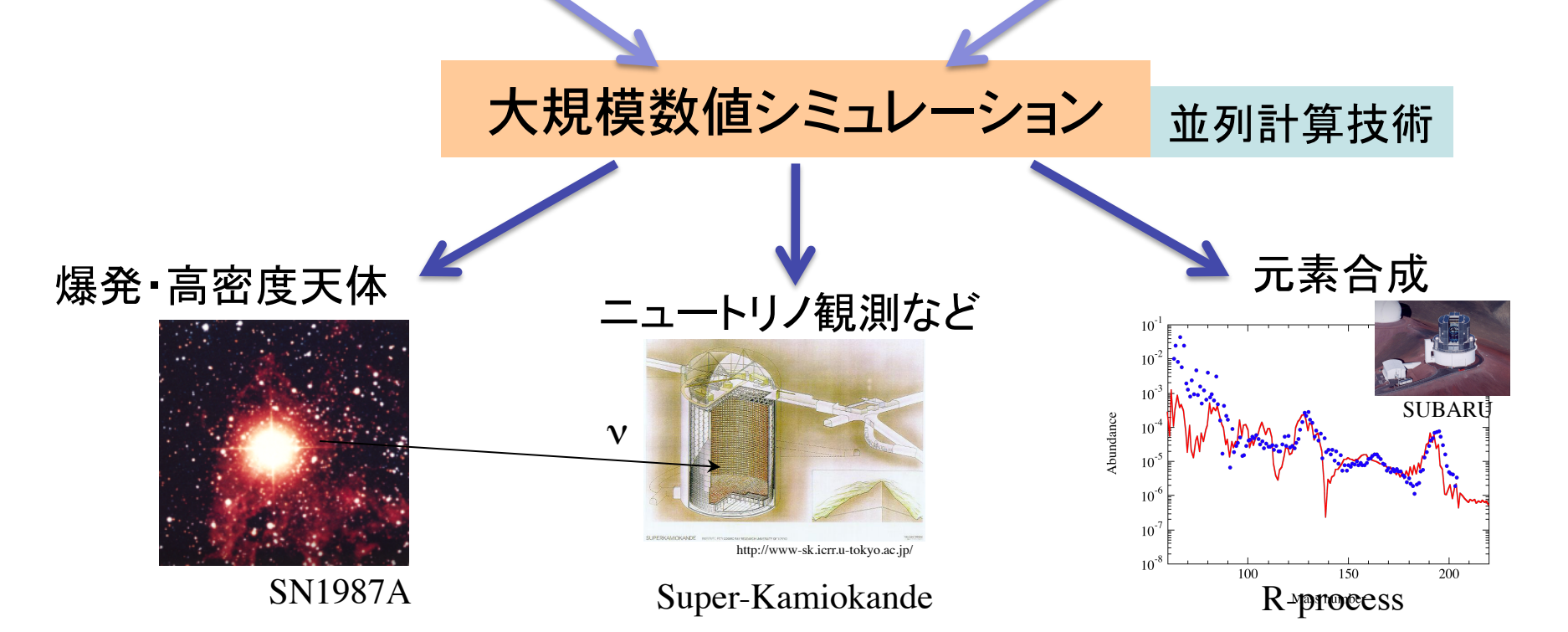
- $E_{v} \sim 10^{53} \, erg$
- わずか~1% が爆発に使われる
- ニュートリノ物質相互作用が重要

→緻密な計算が 必要

#### 超新星爆発メカニズム解明の鍵

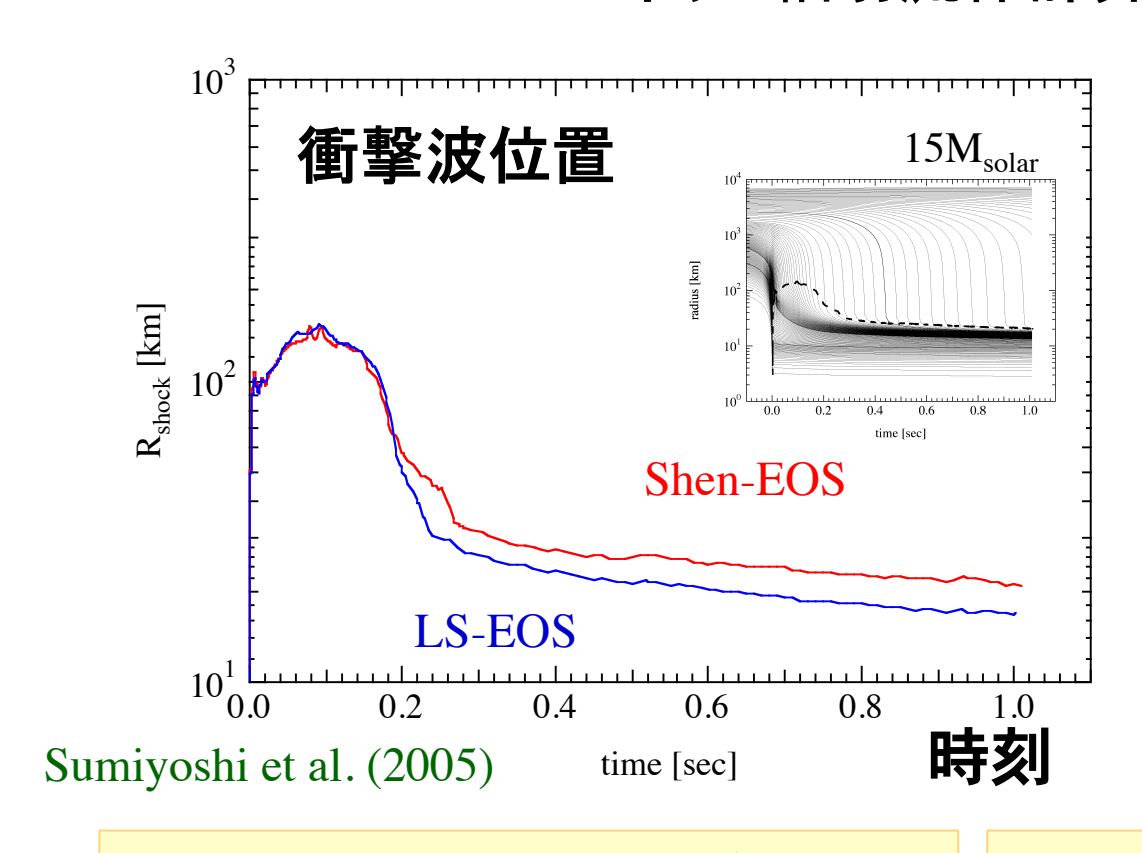
- Macrophysics
  - 流体力学
  - ニュートリノ輻射輸送
  - 回転、磁場

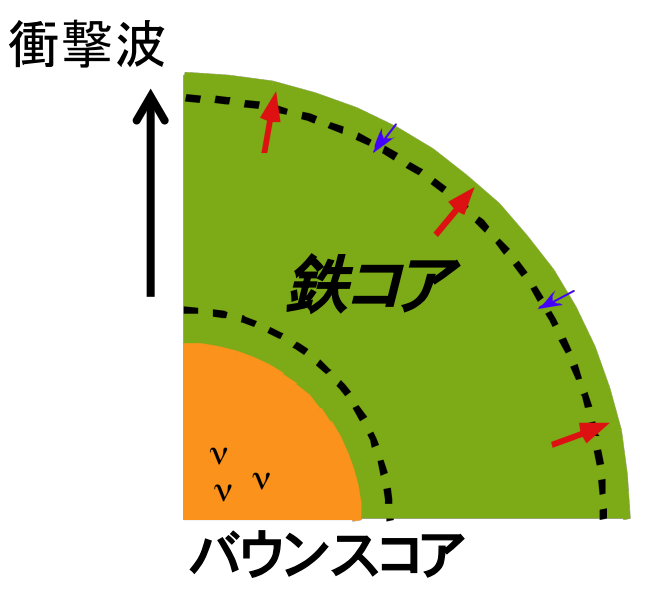
- · Microphysics(核物理)
  - 状態方程式
  - ニュートリノ反応率
  - 電子捕獲反応



#### 球対称の計算では爆発していない

1Dニュートリノ輻射流体計算: 第一原理計算





衝撃波が途中で停滞

#### 初期の衝撃波エネルギー

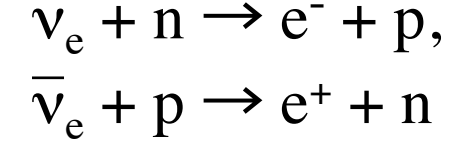
$$E_{shock} \sim \frac{GM_{inner}^2}{R_{inner}} = several \times 10^{51} erg$$

#### エネルギー損失:鉄分解による

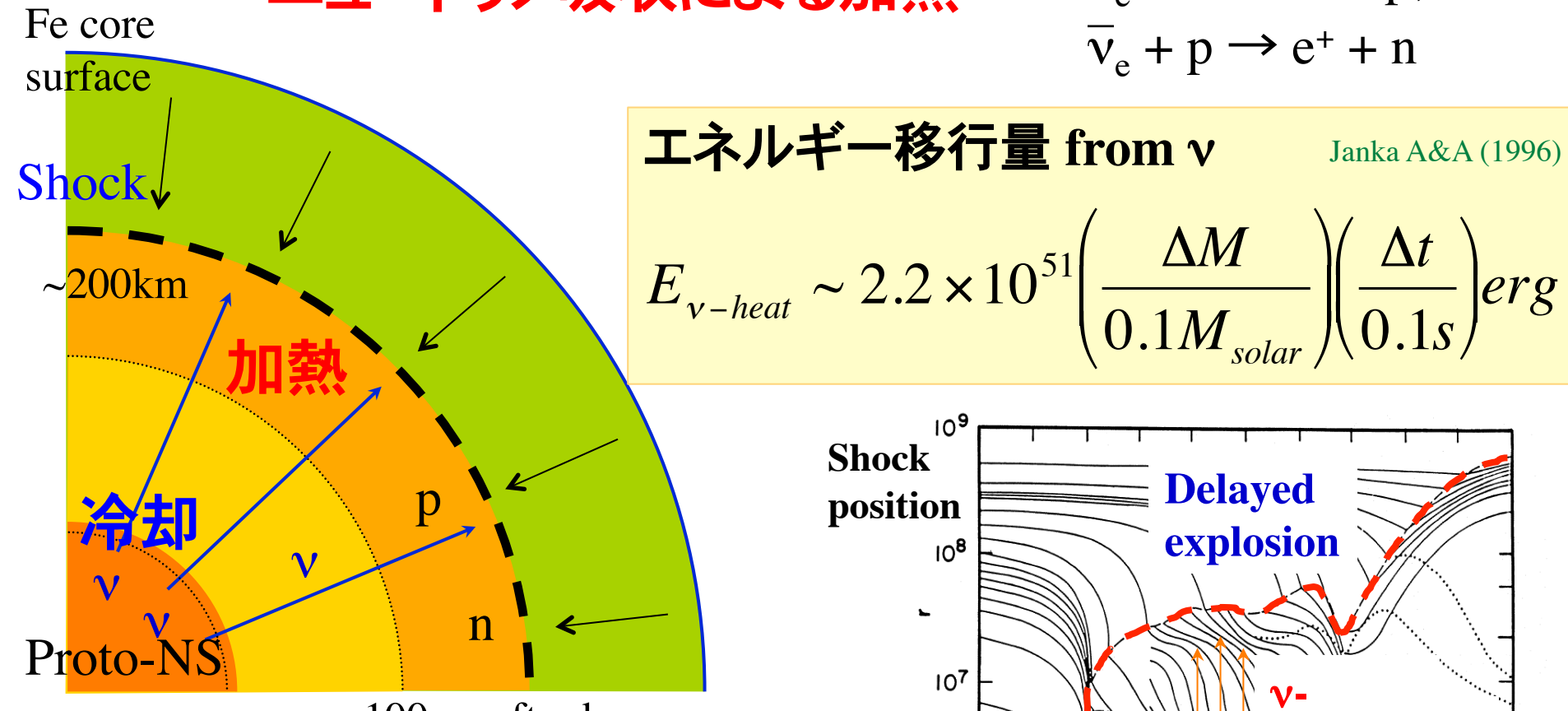
$$E_{loss} \sim -1.6 \times 10^{51} \left( \frac{M_{outer}}{0.1 M_{solar}} \right) erg$$

#### ニュートリノ加熱メカニズムによる衝撃波復活



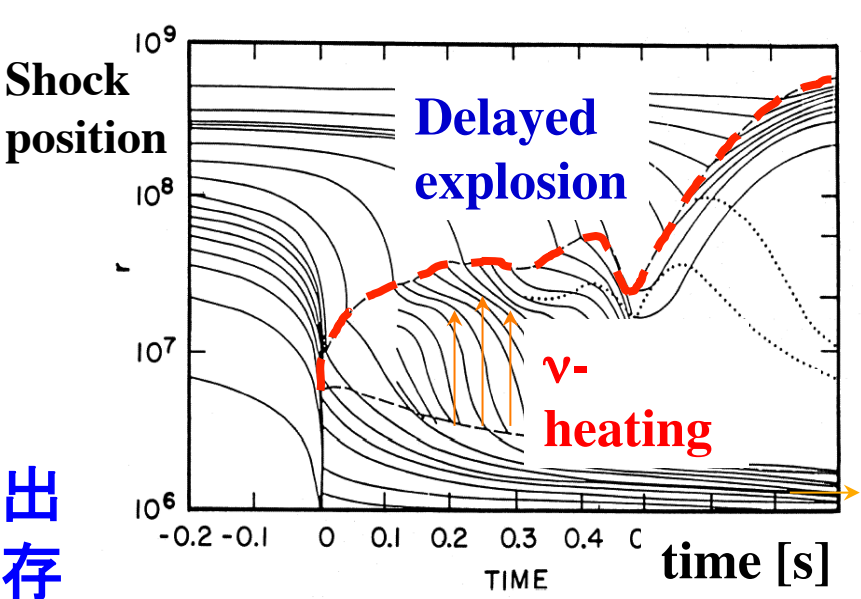


Janka A&A (1996)



100ms after bounce

#### 原始中性子星からのニュートリノ放出 加熱領域での吸収率・時間に依存



Bethe & Wilson ApJ (1985)

## ニュートリノ輻射輸送が鍵

加熱量:ニュートリノから物質へ

#### √-加熱は中間領域で起こる:拡散と自由伝搬の間

#### ニュートリノ輻射の詳細が必要:エネルギー・角度分布 $f(E_{\nu},\theta_{\nu})$

- ex. 拡散近似では不十分 フェルミ分布は使えない
- v-反応: エネルギー依存性が強い  $\sigma(E_v) \propto E_v^2$

核子・原子核・レプトン反応

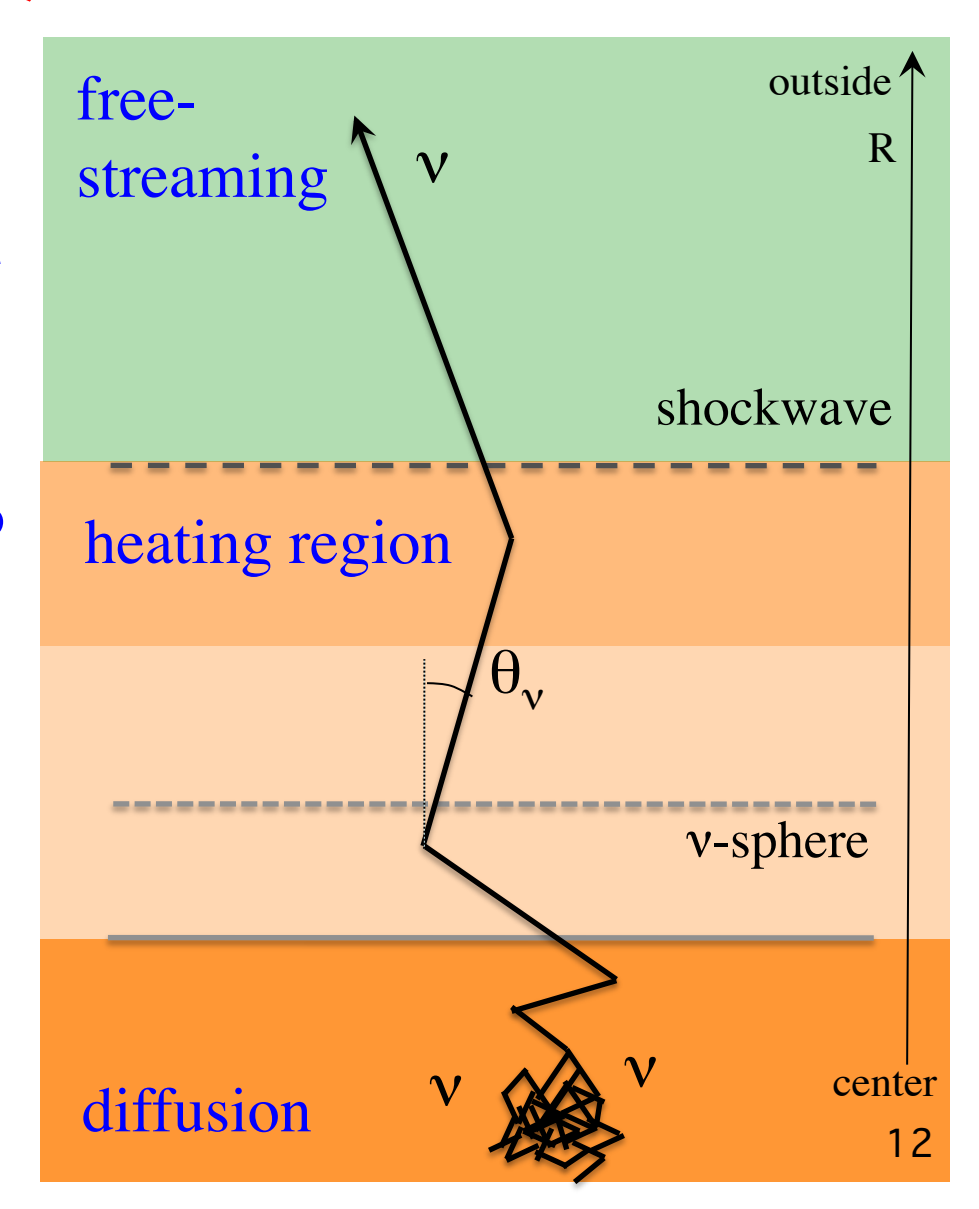
• v-加熱率:輻射輸送+v反応による

平均エネルギー・光度:  $E_v, L_v$ 

Flux factor:  $\langle \mu \rangle = \langle \cos \theta_{\nu} \rangle = 0 \sim 1$ 

$$Q_{v}^{i} \approx 110 \frac{MeV}{s \cdot N} \left( \frac{L_{v} E_{v}^{2}}{R_{7}^{2} < \mu >} X_{i} \right)$$

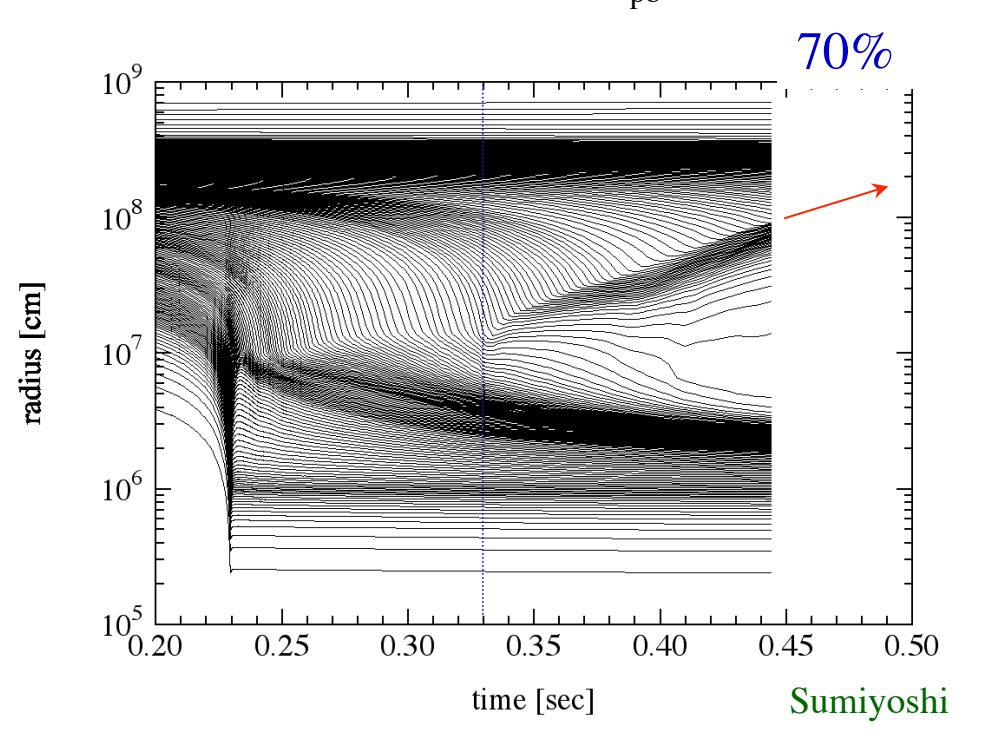
Janka A&A (1996)



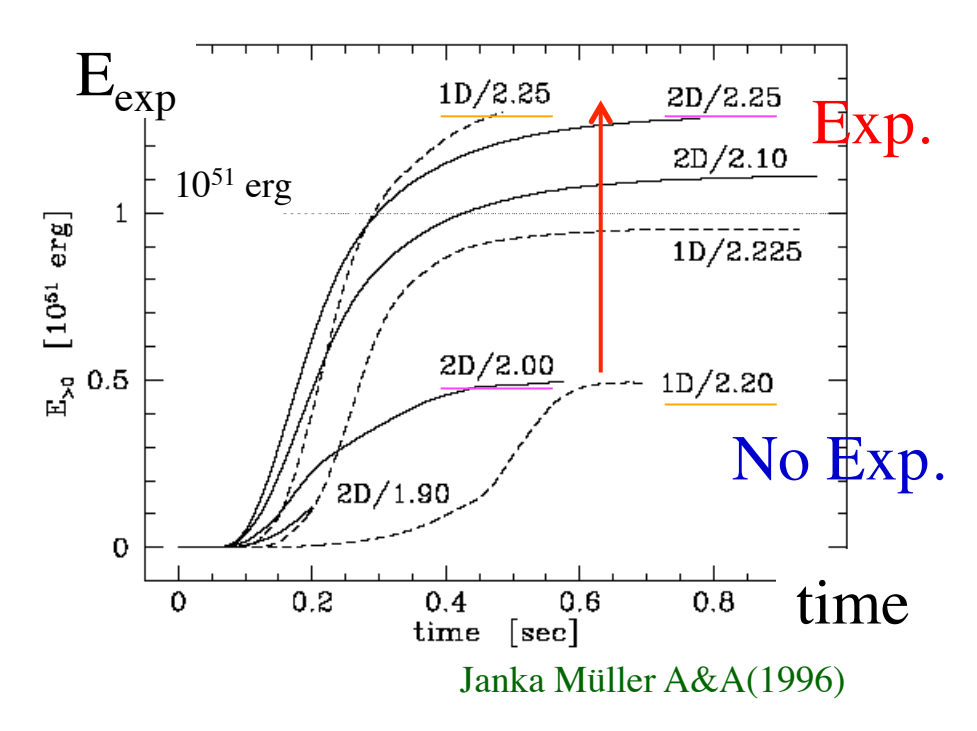
#### 爆発の可否への影響は大きい

#### 10~20 %の加熱率変動でも爆発の可否に影響がありえる

◆ v加熱の依存性
 核子吸収による加熱を30,50,70%
 増加させてみる (from t<sub>pb</sub>=100 msec)



- v光度L<sub>v</sub>の3~12%の変化 爆発に転ずる(1D,2D)
- threshold 付近



• ニュートリノ輻射輸送による緻密な計算が必要

### ν輻射輸送:近似・厳密計算の変遷

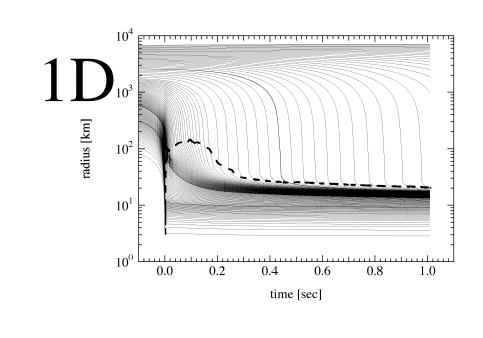
- 厳密計算手法
- Boltzmann equation
- Moment formalism, Monte-Carlo

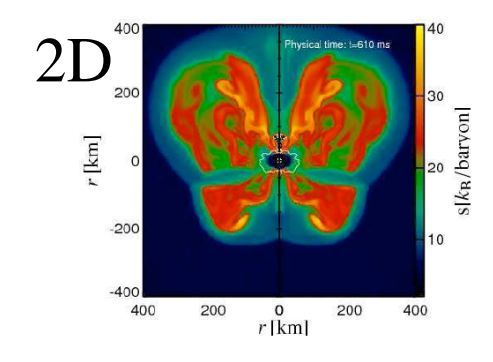
1Dにおけるニュートリノ放出予測・ミクロ物理の検証

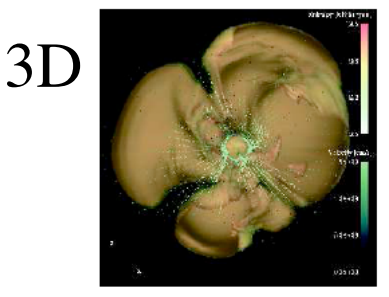


- Light bulb, Leakage scheme
   放出表面を固定, 放出時間を考慮
- Diffusion, IDSA, Ray-by-ray 拡散近似, 1Dを拡大適用

2D, 3Dにおける爆発メカニズム探索







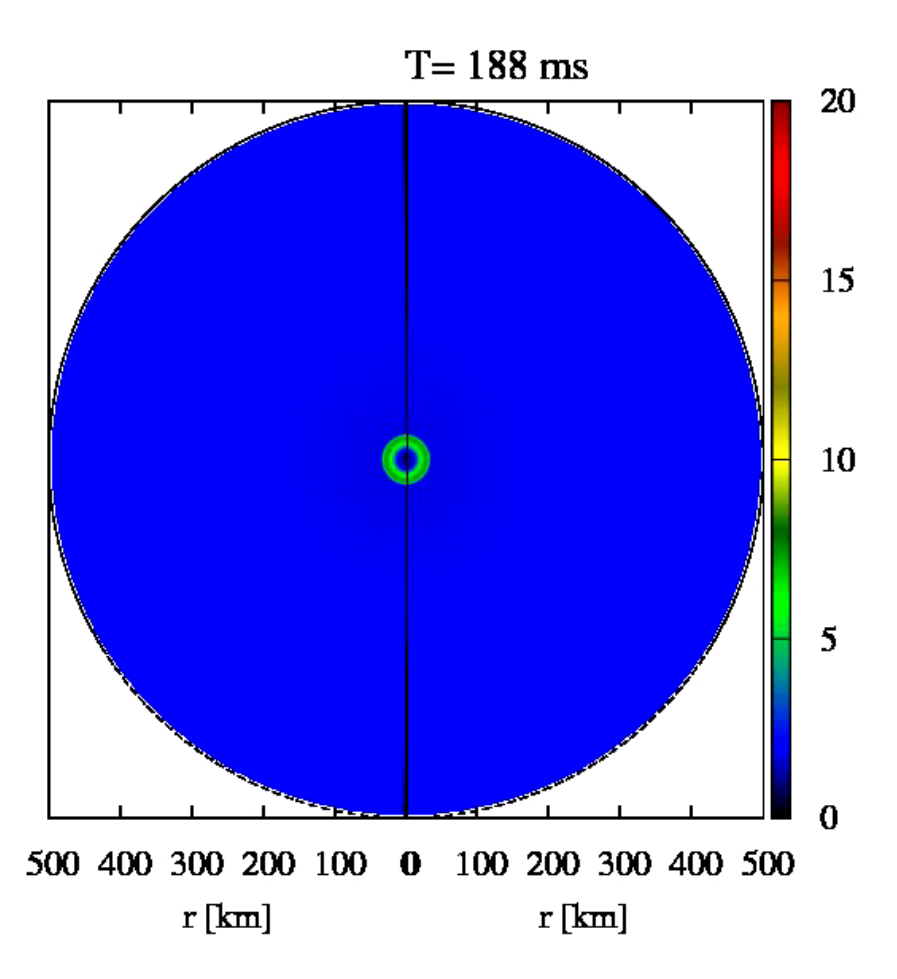
#### 多次元計算:非対称性の役割が明らかに

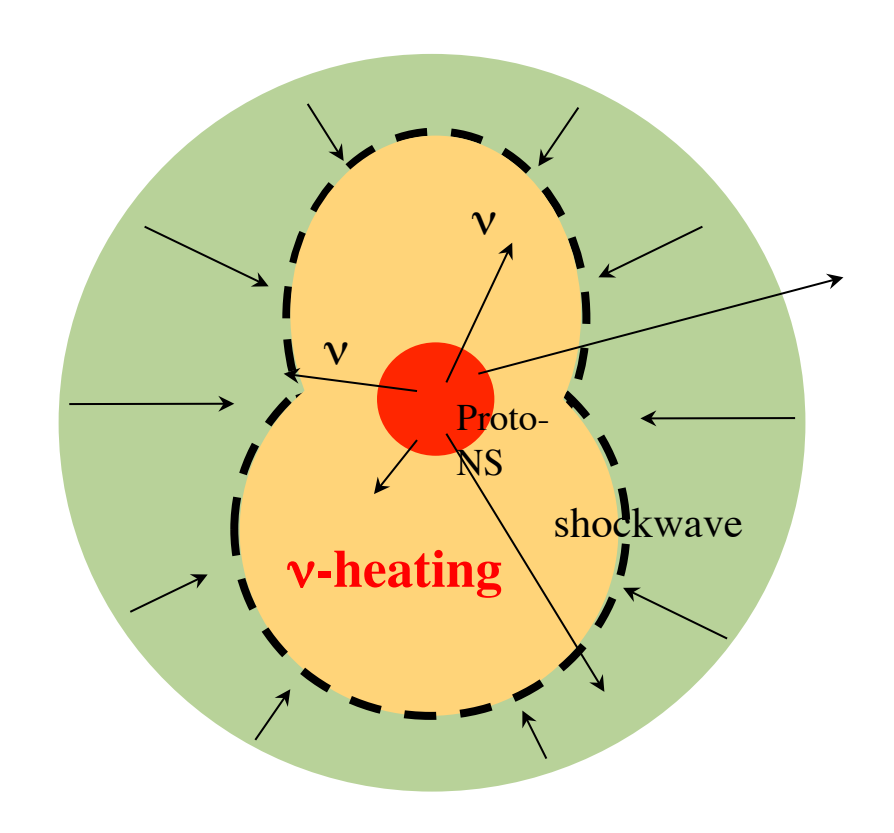
対流,回転,非等方v放射,磁場,... 観測による傍証

SN1987A

Wang (2002)

#### 流体不安定性とニュートリノ加熱

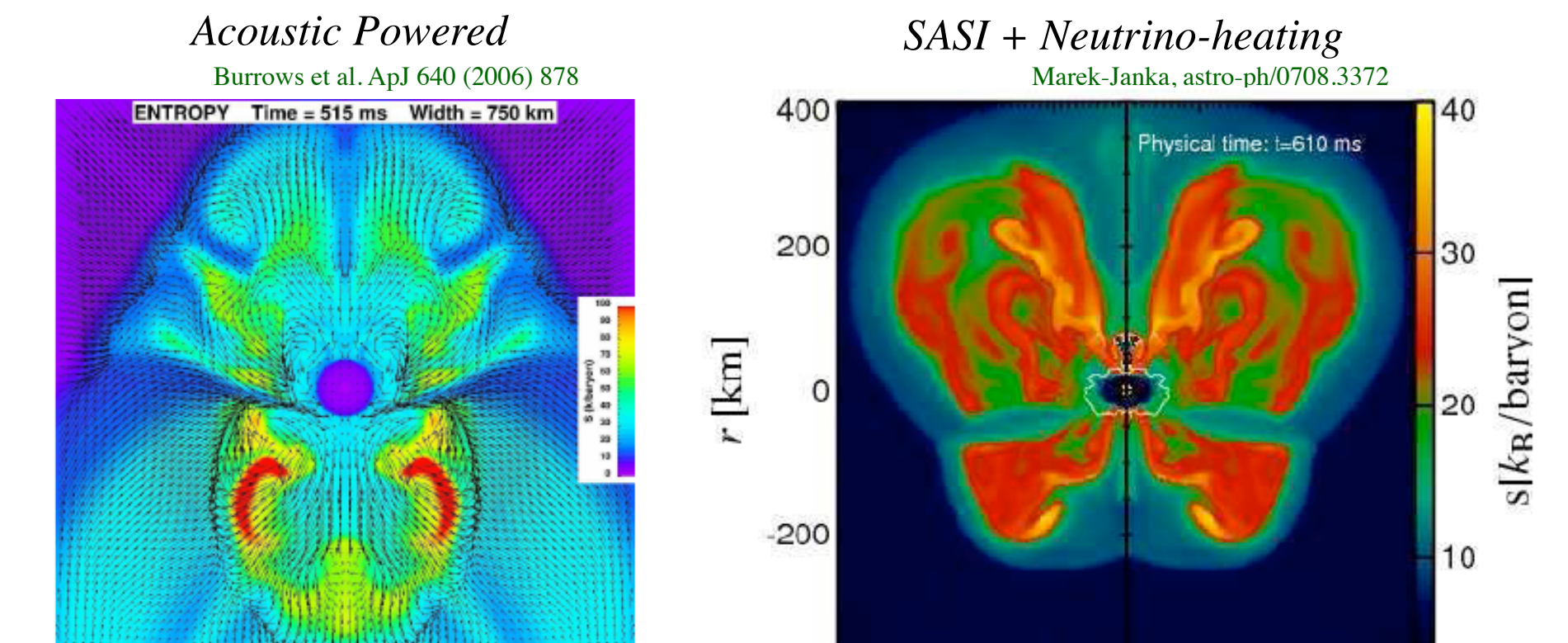




多次元でのニュートリノ加熱

#### 2D(軸対称)で爆発例:メカニズム未確定

バウンス後~500ms経ってから爆発へ



-400

400

拡散近似

200

400

0

r[km]

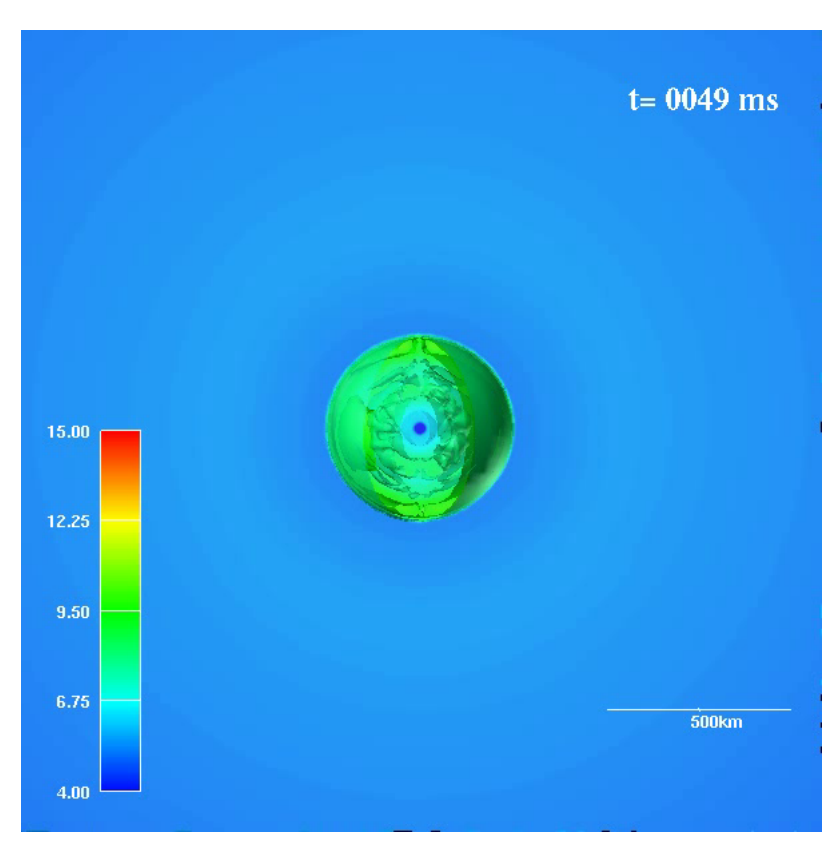
ray-by-ray法

200

課題:異なる計算手法、状態方程式の違い、エネルギーが低い

#### 3D(対称性無し)での計算が可能になってきた

- ・2次元には無い流体不安定性→ニュートリノ加熱に有利?
- ニュートリノ輻射輸送は近似的扱い



Takiwaki ApJ (2012)

世界初の3Dv輻射流体計算

larger 3D simulations running @ K-computer by Takiwaki et al.

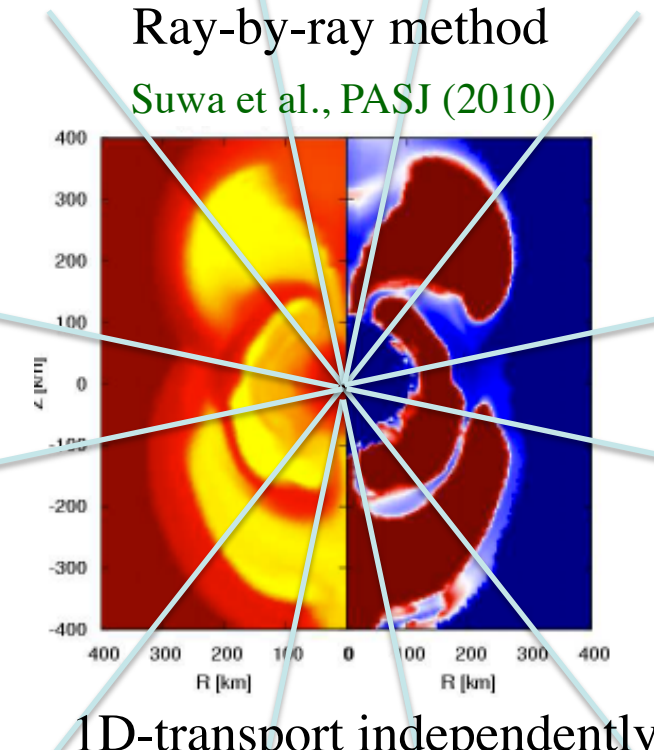


@ Kobe, Japan

## ν輻射輸送:近似から厳密計算へ

- 2D, 3D: 近似計算手法
  - state-of-the-art simulations
- Diffusion (flux limited) 中心付近のみ
- Ray-by-ray (radial transport) 動径方向のみ

2D S<sub>n</sub>-method Ott et al. (2008) ApJ



D-transport independently

- 3次元ニュートリノ輻射輸送計算コード
  - 近似の影響を明らかにする Sumiyoshi & Yamada, ApJS (2012)
  - 厳密計算へ置き換える → Grand Challenge

## 6次元ボルツマン方程式の解法

大規模計算で解くための工夫

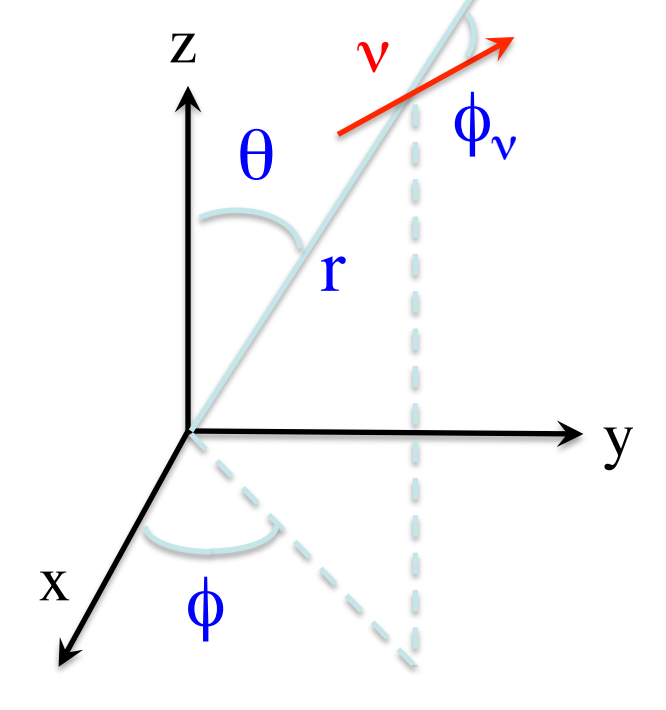
## 3次元輻射輸送計算

• 6次元ニュートリノ分布 (3D+3D)

$$f_{v}(r,\theta,\phi;\ \varepsilon_{v},\theta_{v},\phi_{v};\ t)$$

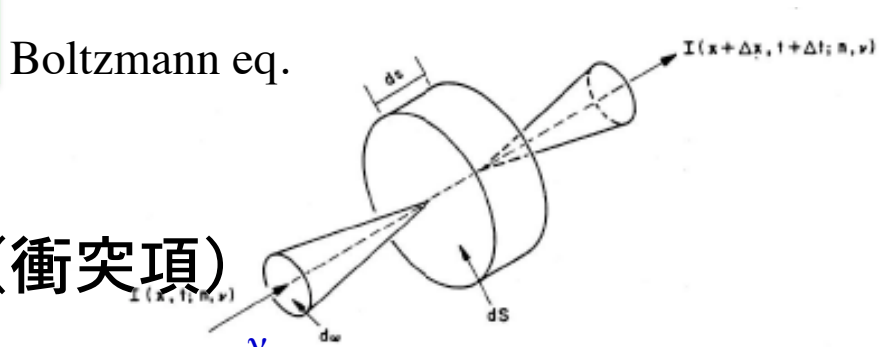
- エネルギー  $(\varepsilon_{v})$ , 伝搬方向  $(\theta_{v},\phi_{v})$
- 6次元でのν輻射輸送方程式

$$\frac{1}{c}\frac{\partial f_{v}}{\partial t} + \vec{n} \cdot \vec{\nabla} f_{v} = \frac{1}{c} \left(\frac{\delta f_{v}}{\delta t}\right)_{collision}$$



- 左辺:ニュートリノ数の変動

- 右辺:ニュートリノ反応による変動(衝突項)



 $\theta_{\mathbf{v}}$ 

## ニュートリノ輻射輸送方程式

$$\frac{1}{c}\frac{\partial f_{v}}{\partial t} + \frac{\mu_{v}}{r^{2}}\frac{\partial}{\partial r}(r^{2}f_{v}) + \frac{\sqrt{1-\mu_{v}^{2}}\cos\phi_{v}}{r\sin\theta}\frac{\partial}{\partial\theta}(\sin\theta f_{v}) + \frac{\sqrt{1-\mu_{v}^{2}}\sin\phi_{v}}{r\sin\theta}\frac{\partial f_{v}}{\partial\phi} + \frac{1}{r}\frac{\partial}{\partial\mu_{v}}[(1-\mu_{v}^{2})f_{v}] + \frac{\sqrt{1-\mu_{v}^{2}}\cos\theta}{r\sin\theta}\frac{\partial}{\partial\phi_{v}}(\sin\phi_{v}f_{v}) = \frac{1}{c}\left(\frac{\delta f_{v}}{\delta t}\right)_{collision}$$

- 保存形: 差分化して解く(S<sub>n</sub>法)
- 時間に関して陰解法

$$E_{v}, \mu_{v}$$

$$\mu_{v} = \cos \theta_{v}$$

$$\frac{1}{c} \left( \frac{\delta f_{v}}{\delta t} \right)_{collision} = j_{emission} (1 - f_{v}) - \frac{1}{\lambda_{absoption}} f_{v} + C_{scattering} \left[ \int f_{v}(E'_{v}, \mu'_{v}) dE'_{v} \right]$$

- 衝突項:全てのν吸収・放出・散乱過程
  - 散乱前後のエネルギー・角度ごとに積分計算
  - 状態方程式に依る組成・ニュートリノ反応率、相対論

#### 衝突項: ニュートリノ反応による寄与

・ 爆発メカニズム解明に必要な基本セット

Bruenn (1985) + Shen

• 放出/吸収:

$$e^{-} + p \Leftrightarrow v_e + n$$
  $e^{-} + A \Leftrightarrow v_e + A'$   
 $e^{+} + n \Leftrightarrow \overline{v}_e + p$ 

• 散乱:

$$v_i + N \Leftrightarrow v_i + N$$
  $v_i + A \Leftrightarrow v_i + A$ 

• 対生成•消滅:

$$e^{-} + e^{+} \Leftrightarrow v_{i} + \overline{v}_{i}$$
 3 species:  
 $N + N \Leftrightarrow N + N + v_{i} + \overline{v}_{i}$   $v_{e}, \overline{v}_{e}, v_{\mu}$ 

- ここ数年の計算資源で扱うための処方:
  - エネルギーが変化する反応は扱わない(電子散乱)
  - 線形方程式の範囲で取り入れる(対生成・消滅)
  - ローレンツ変換の効果を取り入れる(作業中)

#### ボルツマン方程式の衝突項1

#### • 吸収と放出

$$\left[\frac{1}{c}\frac{\delta f}{\delta t}\right]_{emis-abs} = -R_{abs}(\varepsilon,\Omega)f(\varepsilon,\Omega) + R_{emis}(\varepsilon,\Omega)(1 - f(\varepsilon,\Omega))$$

$$R_{emis}(\varepsilon,\Omega) = R_{abs}(\varepsilon,\Omega)e^{-\beta(\varepsilon - \mu_{\nu})}$$

#### 散乱

$$\left[\frac{1}{c}\frac{\delta f}{\delta t}\right]_{scat} = -\int \frac{d\varepsilon'\varepsilon'^2}{(2\pi)^3} \int d\Omega' \ R_{scat}(\varepsilon, \Omega; \varepsilon', \Omega') f(\varepsilon, \Omega) [1 - f(\varepsilon', \Omega')] 
+ \int \frac{d\varepsilon'\varepsilon'^2}{(2\pi)^3} \int d\Omega' \ R_{scat}(\varepsilon', \Omega'; \varepsilon, \Omega) f(\varepsilon', \Omega') [1 - f(\varepsilon, \Omega)],$$

In the case of elastic scattering

$$\left[\frac{1}{c}\frac{\delta f}{\delta t}\right]_{scat} = -\frac{\varepsilon^2}{(2\pi)^3} \int d\Omega' \ R_{scat}(\Omega; \Omega') [f(\varepsilon, \Omega) - f(\varepsilon', \Omega')]$$

$$R_{scat}(\Omega'; \Omega) = R_{scat}(\Omega; \Omega')$$

#### ボルツマン方程式の衝突項2

• 対生成・消滅

$$\begin{split} & \left[ \frac{1}{c} \frac{\delta f}{\delta t} \right]_{pair} = -\int \frac{d\varepsilon' \varepsilon'^2}{(2\pi)^3} \int d\Omega' \ R_{pair-anni}(\varepsilon, \Omega; \varepsilon', \Omega') f(\varepsilon, \Omega) \overline{f}(\varepsilon', \Omega') \\ & + \int \frac{d\varepsilon' \varepsilon'^2}{(2\pi)^3} \int d\Omega \ R_{pair-emis}(\varepsilon, \Omega; \varepsilon', \Omega') [1 - f(\varepsilon, \Omega)] [1 - \overline{f}(\varepsilon', \Omega')], \end{split}$$

$$R_{pair-anni}(\varepsilon, \Omega; \varepsilon', \Omega') = R_{pair-emis}(\varepsilon, \Omega; \varepsilon', \Omega') e^{\beta(\varepsilon + \varepsilon')}$$

- 近似: fについて線形の範囲で扱う
  - 前のステップ(熱平衡)の分布を採用
    - 高温高密度領域では適用可能
  - 等方化した反応率

## 計算コードでの処方

- ·移流部分:保存形
- · 風上差分&中央差分
  - optical depthにより、切換えてつなぐ

Mezzcappa Bruenn (1993), Yamada (1996)

$$f_I = \beta_I f_i + (1 - \beta_I) f_{i+1}$$

$$f_I = \beta_I f_i + (1 - \beta_I) f_{i+1}$$
  $\beta_I = 1 - \frac{1}{2} \frac{\Delta r / \lambda}{1 + \Delta r / \lambda} = 0.5 \sim 1$ 

- · 時間発展: 陰解法
  - 安定性、平衡解を保証
  - 時間ステップ

$$\frac{f^{n+1} - f^n}{c\Delta t} = F[f^{n+1}]$$

• 行列形式
$$\frac{f^{n+1}}{c\Delta t} + [advection]^{n+1} - [absorption]^{n+1} = \frac{f^n}{c\Delta t} + [emission]$$

#### 主な計算負荷:大規模疎行列の解法

#### ·線形方程式

$$\vec{Af_v} = \vec{d}$$

#### ・ニュートリノ分布

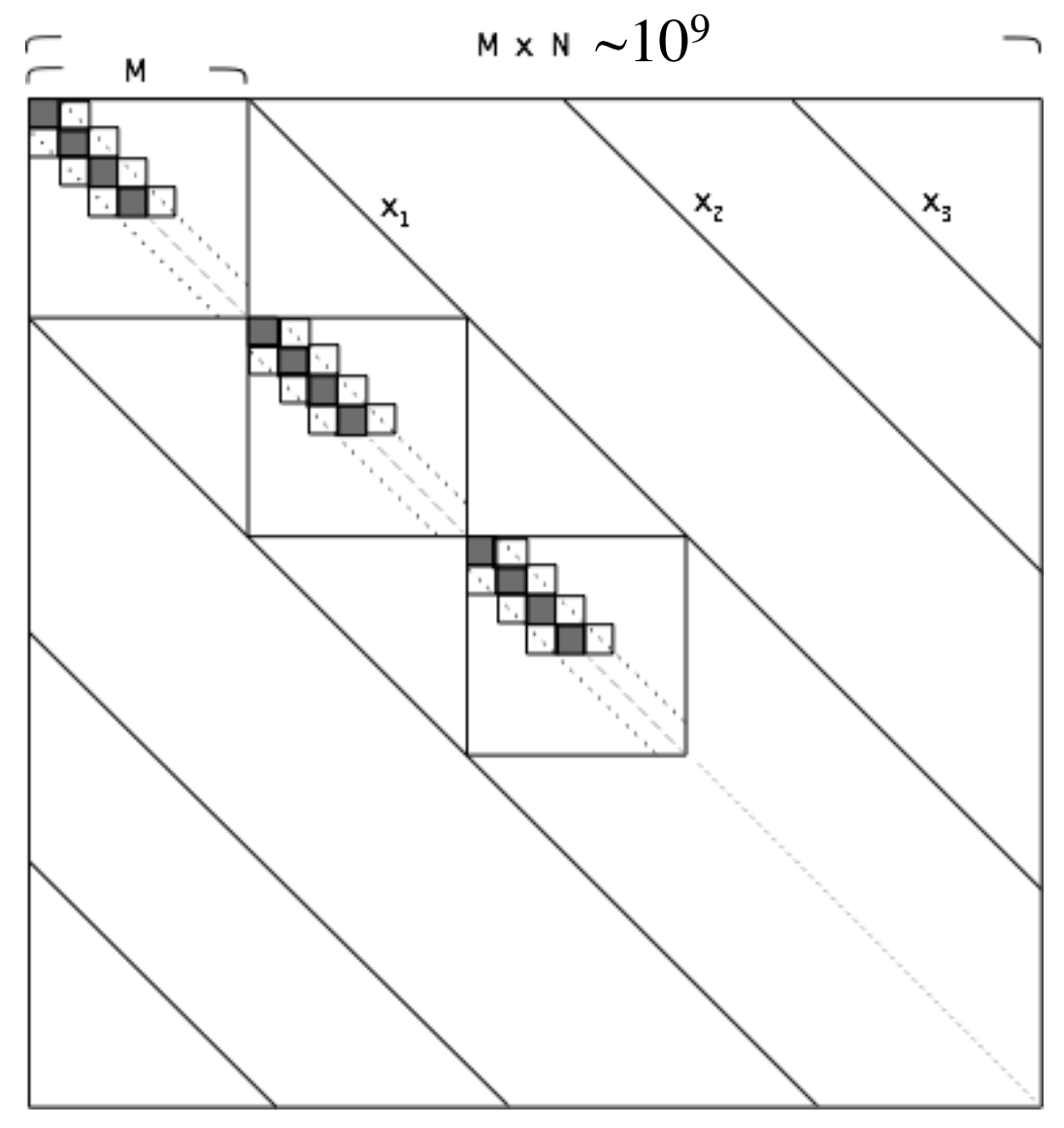
 $\begin{aligned} N_{space} = & n_r \times n_{\theta} \times n_{\phi} \\ N_{v} = & n_{\epsilon} \times n_{\theta v} \times n_{\phi v} \\ N_{vector} \sim & 10^6 \times 10^3 \end{aligned}$ 

ν分布: 12GB

行列: 1.5TB

· 反復法
BiCGSTAB
前処理 by 今倉

Imakura et al. JSIAM (2012)



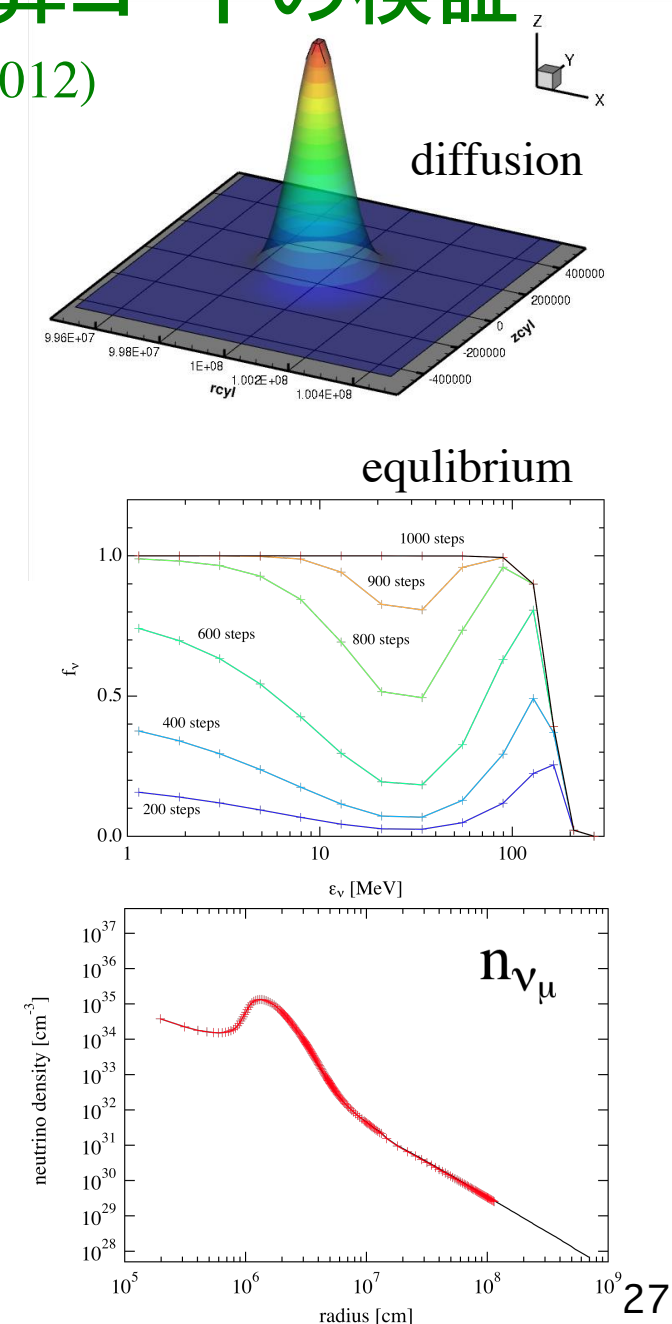
Kotake et al. PTEP (2012)

3次元ニュートリノ輻射輸送計算コードの検証

Sumiyoshi & Yamada ApJS (2012)

- 解析解との比較
  - ガウス分布拡散、自由伝搬
  - 経路に沿って形式解
  - 平衡解への時間発展
- 球対称計算コードとの比較
  - 固定分布
    - 重力崩壊,バウンス後
  - v密度、フラックス、モーメント
  - v反応率,平均自由行程

1D GR v-radiation hydrodynamicsコードを活用 Sumiyoshi et al. ApJ (2005)



## 2D/3D超新星コアへの応用

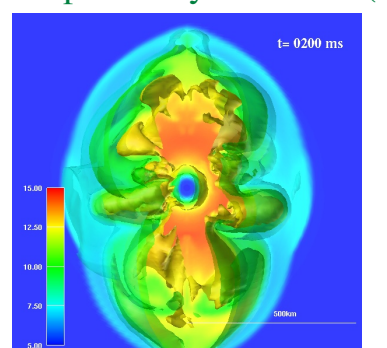
多次元でのν輻射輸送の振舞は?

## 3次元v輻射輸送計算コードの応用

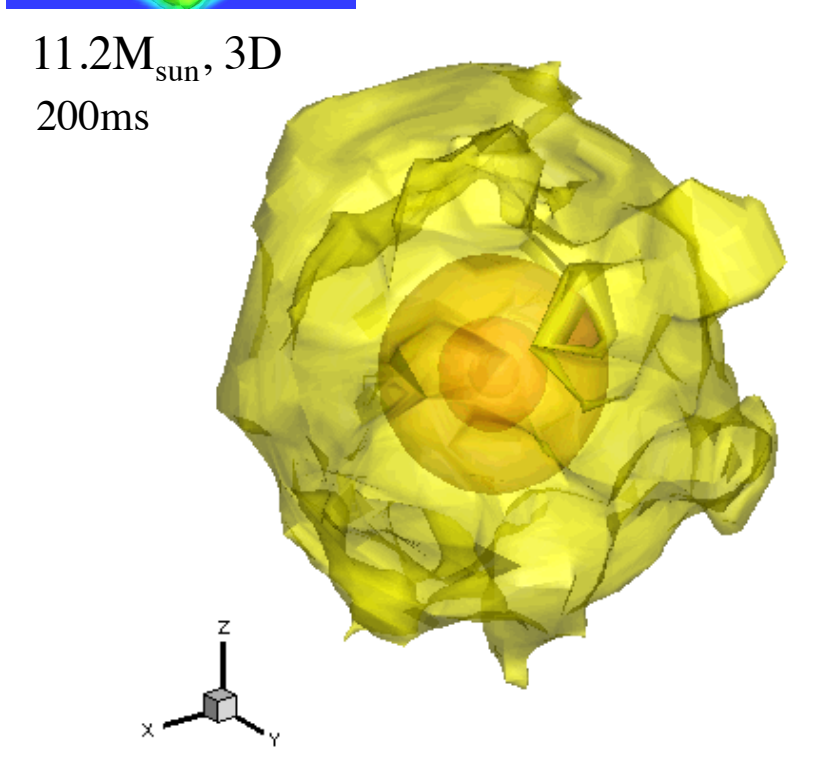
- MPI並列計算コード
  - KEK, YITP, UT: SR16000, 8/- (256 x 64 x 32, 6 x 12 x 14)
- 物質分布のもとでv輻射輸送を計算できる
  - ニュートリノ輻射の定常分布を調べる
    - 6Dボルツマン方程式により時間発展
    - ・ 定常解による流束、加熱率、モーメント量
- 2D/3D超新星コアでのv輻射の特徴
  - 非動径方向の移流, 近似計算の吟味
- 流体計算コードとの結合(長倉)
  - 2D v輻射流体コード, 相対論化 → 3Dフル計算へ

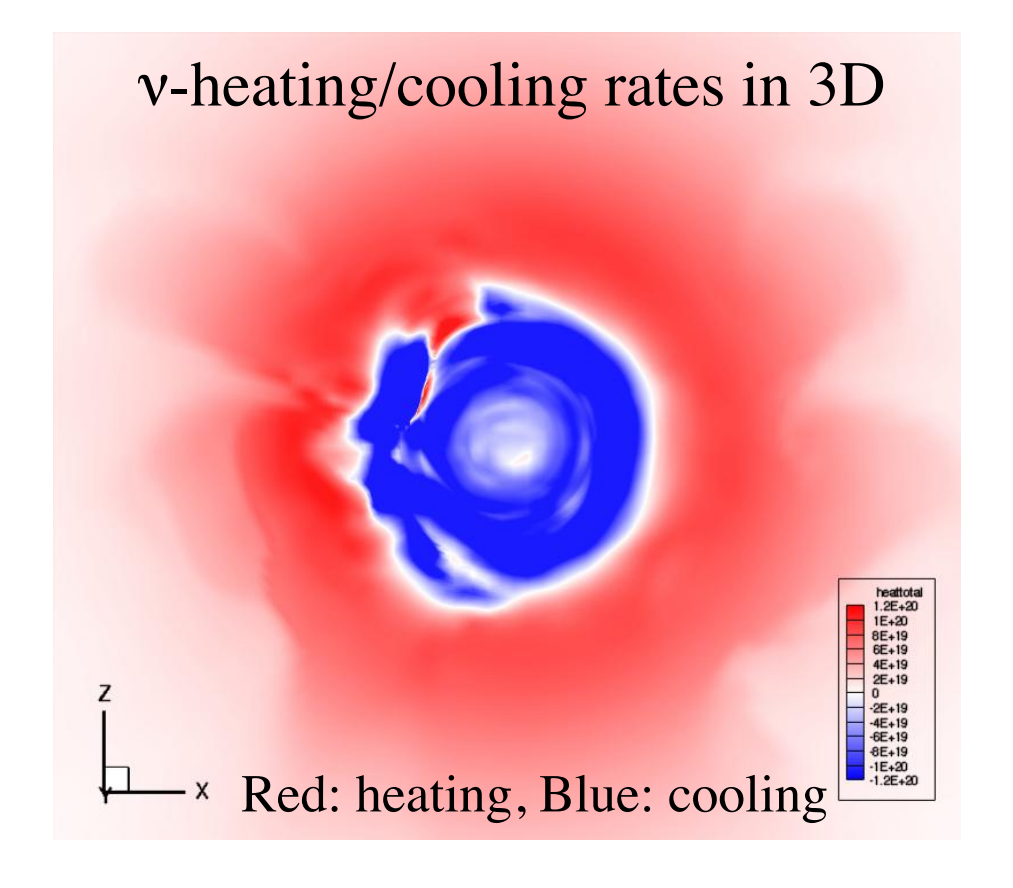
#### 3次元超新星コアにおけるニュートリノ輻射輸送

3D profile by Takiwaki (2012)



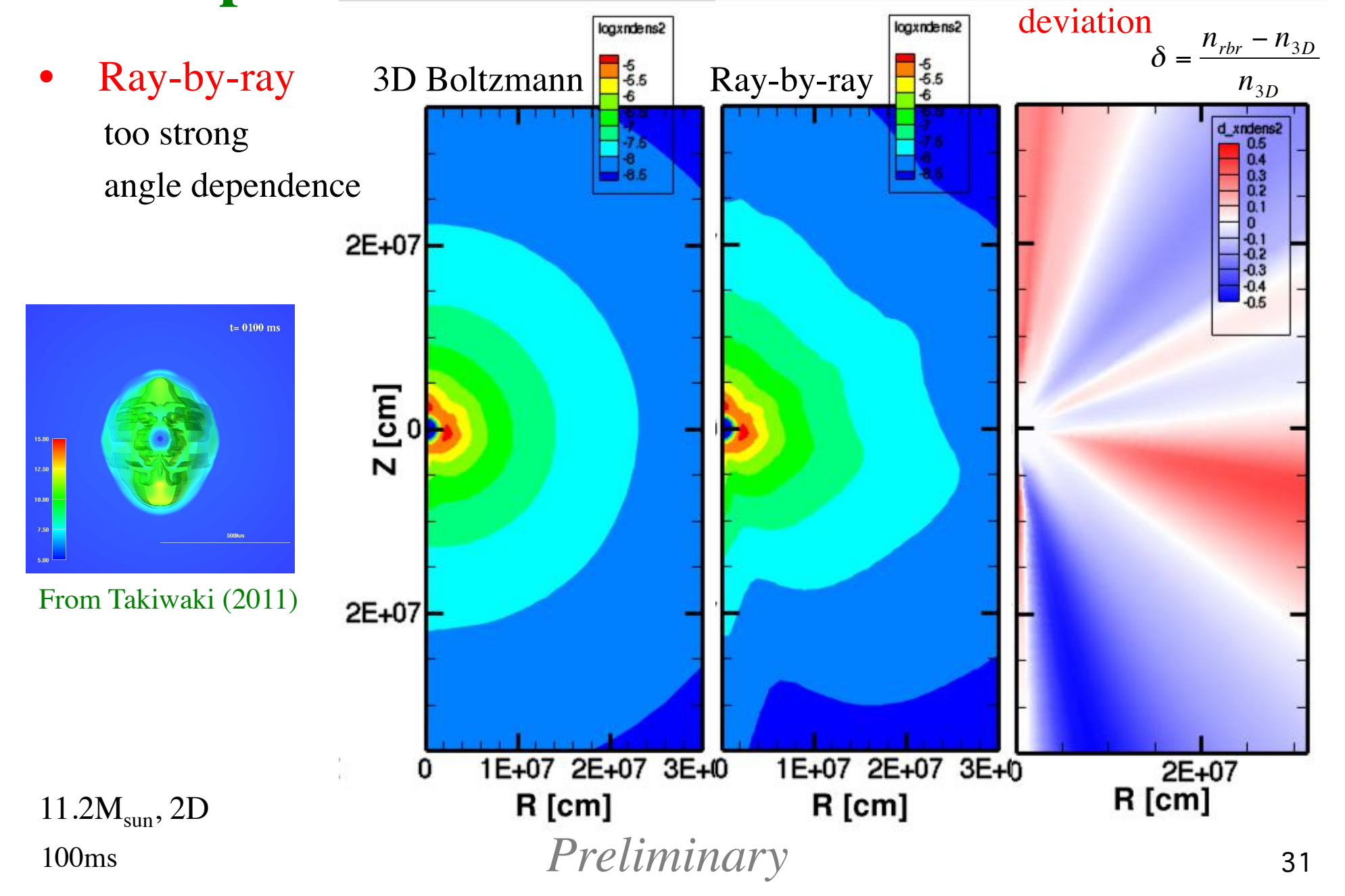
3D(近似)v輻射流体計算による物質分布 3D超新星コアでのニュートリノ輻射を調べる ニュートリノ密度、フラックス、スペクトル、加熱率





### 2D supernova core

#### $\bar{v}_{\rm e}$ density distribution



## まとめと今後

- 超新星爆発メカニズムとニュートリノ
  - ニュートリノ輻射輸送による加熱への影響
- 3次元ニュートリノ輻射輸送を計算できる
  - 6Dボルツマン方程式を解く計算コード
- 2/3次元超新星コアへの応用
  - 多次元輻射輸送の特徴,近似計算の吟味
- 3次元∨輻射流体計算コードへ
  - 流体計算コードとの結合,相対論化

新学術領域「計算科学による素核宇融合」 HPCI戦略P分野5「物質と宇宙の起源と構造」課題3

### 原子核・天文・計算科学の共同研究

- 超新星爆発
  - 鈴木英之、中里健一郎
  - 山田章一、長倉洋樹
- 計算科学
  - 松古栄夫
  - 櫻井鉄也、今倉暁
- 天文シミュレーション
  - 固武慶、滝脇知也
  - 関口雄一郎

- 状態方程式テーブル
  - H. Shen
  - 親松和浩
  - 土岐博
- 状態方程式の拡張
  - 古澤峻
  - 大西明、石塚知香子
  - 鷹野正利、富樫甫
- ニュートリノ反応
  - 佐藤透、那須翔太、中村聡

#### Support from:

- HPCI Strategic Program Field 5
- Grant-in-Aid for Scientific Research (20105004, 20105005, 22540296, 24244036)
- Supercomputing resources at KEK, YITP, UT, RCNP, K-computer